



重力加速度随纬度变化的精确值

廖蕴莹 谢元栋

(华南师范大学物理与电信工程学院 广东广州 511400)

(收稿日期:2019-03-18)

摘要:把地球当作一个标准椭球体,来讨论重力加速度随纬度的变化,得出了准确的修正关系式,并把解析结果绘制成图像,从而加深对重力加速度的理解。

关键词:地球椭球体 重力加速度 纬度变化

一般情况下,物理学中处理有关力学问题时,取重力加速度 $g = 9.80 \text{ m/s}^2$,更粗略的计算甚至取 $g = 10.0 \text{ m/s}^2$. 这种处理方法使求解问题简单方便,精确度也能达到要求. 但实际上,尽管重力加速度随纬度和高度变化不大,但还是有明显的变化. 也就是说,地球表面的重力加速度并不是处处都相等,误差来源于两个方面:一是地球自转产生惯性离心力;二是地球不是严格的球体. 前一种情况,教科书中有详细讨论^[1,2],后一种情况则很少涉及. 本文拟弥补这

个缺陷.

众所周知,地球不是一个严格的球体,两极半径小,赤道半径大. 这使重力加速度 g 随纬度的升高而增大的效应更显著. 由于这个原因,各地实测的 g 也要比把地球当成一个球体算出的值大. 下面详细讨论重力加速度与纬度变化的函数关系.

如图 1 所示,可把地球看成是一个长半轴为 $a = 6\ 379\ 250 \text{ m}$,短半轴为 $b = 6\ 356\ 755 \text{ m}$ 的旋转椭球体,围绕 y 轴做自转运动. 地球不是一个严格的惯性

示,其形似一个波浪.

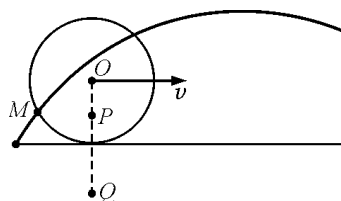


图 13 取 P 点为研究对象

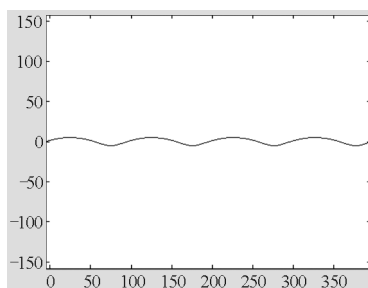


图 14 $r < 0.8 \text{ m}$ 时, P 点的运动轨迹

3) 若取车轮外的点 Q 作为研究对象,即 $r > 0.8 \text{ m}$ (如图 13 所示),则 Q 点的运动轨迹如图 15 所示,结果呈现为摆线形状.

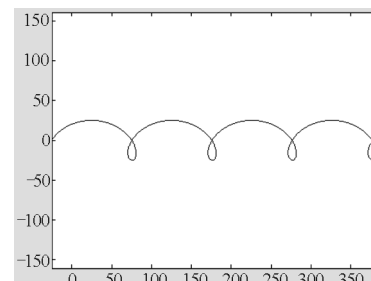


图 15 $r > 0.8 \text{ m}$ 时, Q 点的运动轨迹

4 结束语

当笔者将所发现的结果向学生一一展示,学生学习的好奇心高涨,这不仅仅是结论也包括探究的过程. 这就给我们一个启发,那就是对于一个看似简单的事物如果进行细致的研究和分析,往往会产生意想不到的惊喜. 物理教学的目的是培养学生的科学素养、激发他们的想象,知道物理课程不是单调枯燥的,其关键是教师以何种方式激发学生的兴趣,并把这种力量带到学习中去.

系,其自转的角速度为

$$\Omega = \frac{2\pi}{T} = \frac{2\pi}{24 \times 3600} \text{ s}^{-1} = 7.29 \times 10^{-5} \text{ s}^{-1} \quad (1)$$

其中 T 是地球自转周期.

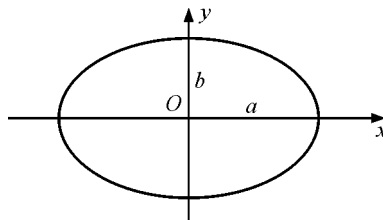


图1 地球自转运动示意图

在纬度为 λ 处,地面上质量为 M 的物体,地球自转角速度为 Ω ,物体到地心的距离为 R . 地球的表面方程为 $\frac{x^2}{a^2} + \frac{y^2}{b^2} + \frac{z^2}{b^2} = 1$,此方程转换到球坐标系为

$$R = R(\lambda) = \frac{ab}{\sqrt{a^2 \sin^2 \lambda + b^2 \cos^2 \lambda}} \quad (2)$$

而物体 M 的受力分析图如图 2 所示.

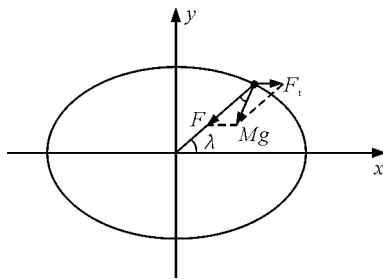


图2 物体 M 受力分析

对于地面上的观察者来说,物体受到两个力:地球引力 F 和惯性离心力 F_t . 实际所观察到的重力 Mg 是 F 和 F_t 的合力

$$Mg = F + F_t \quad (3)$$

如果认为地球是均匀的刚性球体,则 F 的值各地相同. 但 F_t 的值随纬度 λ 而变:

$$F_t = Ma\Omega^2 \cos \lambda \quad (4)$$

因此 Mg 的大小和方向都随纬度 λ 而变,大小的变化反应在重力加速度 g 随 λ 的变化,方向的变化反应在 Mg 的方向和引力 F 方向之间的夹角 α 随 λ 的变化. 下面我们来找出 g 和 α 随 λ 变化的函数关系.

将 F , F_t 和 Mg 之间的关系用如图 3 所示的三角形来表示^[2].

从图中可看出

$$F_t \sin \lambda = Mg \sin \alpha \quad (5)$$

$$F \sin \lambda = Mg \sin (\lambda + \alpha) \quad (6)$$

$$F = Mg \cos \alpha + F_t \cos \lambda \quad (7)$$

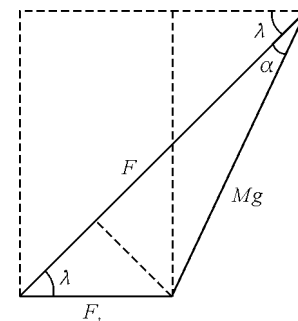


图3 F , F_t 和 Mg 的关系

而根据万有引力定律

$$F = G \frac{m_{\text{地}} M}{a^2 \cos^2 \lambda + b^2 \sin^2 \lambda} \quad (8)$$

将式(4)代入式(5)得

$$\sin \alpha = \frac{a\Omega^2 \sin 2\lambda}{2g} \quad (9)$$

由于 $\alpha \propto \Omega^2$,故很小. 则有 $\sin \alpha \approx \alpha$, $\cos \alpha \approx 1$.

联立式(7)和式(8)得

$$\frac{Gm_{\text{地}} M}{a^2 \cos^2 \lambda + b^2 \sin^2 \lambda} = Mg + Ma\Omega^2 \cos^2 \lambda \quad (10)$$

即

$$g = \frac{Gm_{\text{地}}}{a^2 \cos^2 \lambda + b^2 \sin^2 \lambda} - a\Omega^2 \cos^2 \lambda \quad (11)$$

在赤道处, $\lambda = \alpha = 0$, $g = g_0$, 则根据式(11), 可得

$$\frac{Gm_{\text{地}}}{a^2} = g_0 + a\Omega^2 \quad (12)$$

将式(12)代入式(11),则得出 g 随 λ 变化的近似公式

$$g = \frac{(g_0 + a\Omega^2)a^2}{a^2 \cos^2 \lambda + b^2 \sin^2 \lambda} - a\Omega^2 \cos^2 \lambda = \\ (g_0 + a\Omega^2)(1 - e^2 \sin^2 \lambda) - 1 - a\Omega^2 \cos^2 \lambda \approx \\ g_0(1 + \frac{a\Omega^2}{g_0} \sin^2 \lambda + \frac{a\Omega^2 e^2}{g_0} \sin^2 \lambda + e^2 \sin^2 \lambda) \quad (13)$$

把 $g_0 = 9.7588 \text{ m/s}^2$ 代入式(13),于是得到 g 的近似公式

$$g = 9.7803(1 + 0.0105 \sin^2 \lambda) \quad (14)$$

根据式(14)算得 g 的数据如表 1 所示.

表1 根据式(14)算得 g 的数据

$\lambda/(^\circ)$	0	10	20	30	40	50	60	70	80	90
g	9.7803	9.7834	9.7923	9.8060	9.8227	9.8406	9.8573	9.8667	9.8710	9.8830

根据式(13)算得 g 的变化趋势如图 4 所示。

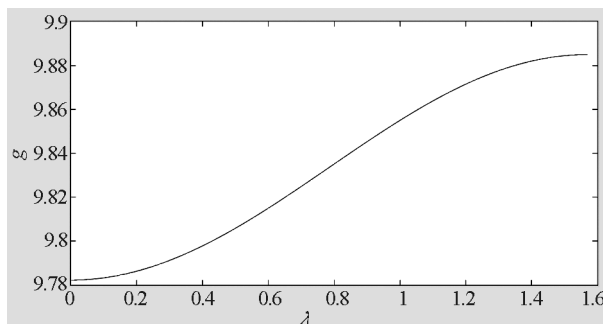


图 4 根据式(13)算得 g 的变化趋势

时,重力加速度 g_1 的近似公式为

$$g_1 = 9.7803(1 + 0.0053 \sin^2 \lambda) \quad (14)$$

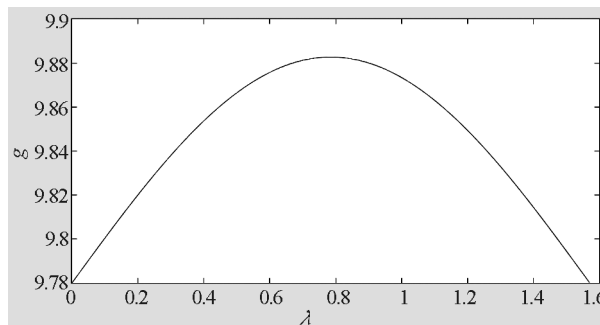


图 5 根据式(13)算得 g 的变化快慢

把式(14)所算得的 g_1 与式(13)所算的 g 相比较,数据如表 2 所示。

利用表 2 的数据与实际测量的重力加速度值进行比较

① 在赤道 $\lambda = 0$ 处, g 的实测值 $g_{\text{测}} = 9.780 \text{ m/s}^2$ 。

根据式(13)算得 g 的变化快慢如图 5 所示。

由图像可以得出结论,重力加速度 g 随纬度 λ 的增加而增加。在赤道附近,重力加速度增长得比较缓慢。随着纬度的增加,重力加速度增长变快。在纬度为 45° 时,重力加速度增长最快。在两极附近,重力加速度增长又变得比较缓慢。

查阅资料得出^[2],当把地球看成是一个球体

表 2 g_1 与 g 数据对比

$\lambda / (\text{度})$	0	10	20	30	40	50	60	70	80	90
g_1	9.7803	9.7819	9.7863	9.7932	9.8017	9.8107	9.8191	9.8261	9.8306	9.8321
g	9.7803	9.7834	9.7923	9.8060	9.8227	9.8406	9.8573	9.8667	9.8710	9.8830

根据式(13)计算得

$$g = 9.7803(1 + 0.0105 \sin^2 \lambda) = 9.7803 \text{ m/s}^2.$$

相对误差为 0.2%。

根据式(14)计算得

$$g_1 = 9.7803(1 + 0.0053 \sin^2 \frac{\pi}{2}) = 9.8321 \text{ m/s}^2$$

相对误差为 0.2%。

② 在极点 $\lambda = \frac{\pi}{2}$ 处, g 的实测值 $g_{\text{测}} = 9.8845 \text{ m/s}^2$

根据式(13)计算得

$$g = 9.7803 \left(1 + 0.0105 \sin^2 \frac{\pi}{2}\right) = 9.8830 \text{ m/s}^2$$

相对误差为 0.02%。

根据式(14)计算得

$$g_1 = 9.7803(1 + 0.0053 \sin^2 \frac{\pi}{2}) = 9.8321 \text{ m/s}^2$$

相对误差为 0.5%。

并把式(13)和式(14)作比较,如图 6 所示,比较结果略有偏差。

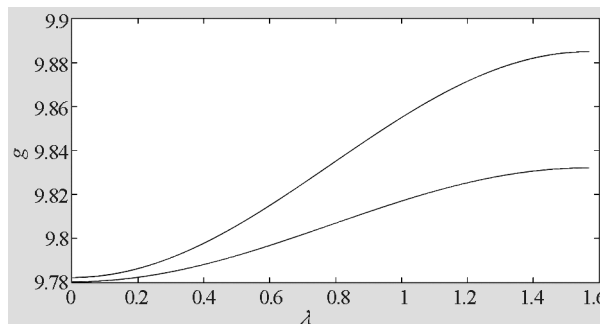


图 6 式(13)和式(14)所得结果对比图

结论:当把地球当作一个旋转椭球体而非球体时,重力加速度随着纬度的增加会变得更明显。这个结果应该更精确,是某些精确计算中需要考虑的修正。

参 考 文 献

- 人民教育出版社.普通高中课程标准实验教科书物理·必修1(第2版).北京:人民教育出版社,2006.43~44
- 金尚年.经典力学(第一版).上海:复旦大学出版社,1989
- 于军风.地球自转、形状和重力加速度随纬度的变化.大学物理,2013,32(6):14~17